

新疆阿尔泰萨尔朔克金多金属矿床成矿流体的 氡-氩同位素示踪

杨成栋，杨富全

中国地质科学院矿产资源研究所，国土资源部成矿作用与资源评价重点开放实验室，北京，100037

萨尔朔克金多金属矿隶属哈巴河县，位于阿舍勒铜锌矿NNE向约5.7 km，与阿舍勒铜锌矿位于相同的构造背景上，是一个与潜火山热液有关的矿床，是新疆地质矿产勘查开发局物化探大队1996年进行“萨尔朔克1:5000金异常查证”时发现的小型金矿。2008年新疆地质矿产勘查开发局第二区调大队完成了详查工作，在深部又发现了铜铅锌矿体，使得该矿床成为多金属矿床。由于该矿近年来才取得突破，矿床的研究工作刚刚开始，对于成矿流体来源示踪方面的研究显得十分薄弱。

氡-氩同位素体系由于在地壳和地幔中组成差异较大，常被作为壳-幔相互作用过程极为灵敏的同位素示踪剂，而黄铁矿则是保存氡的理想矿物。本文在前人研究基础上，以萨尔朔克金多金属矿床中钻孔(ZK8801)岩芯及1120平硐中段不同成矿期的块状、脉状以及浸染状黄铁矿黄铜矿矿石为研究对象，开展了黄铁矿的氡、氩同位素地球化学研究，探讨了成矿流体的来源，以期为深部找矿工作和区域成矿规律总结提供依据。

1 矿床地质特征

1.1 地层

矿区主要出露下-中泥盆统阿舍勒组和上泥盆统齐也组。阿舍勒组为一套中酸性火山碎屑岩和火山熔岩建造，在矿区分为两个岩性段；矿区仅出露上泥盆统齐也组第二岩性段，分布于矿区西部、北部，出露面积较大，与上覆下石炭统红山嘴组为断层接触，与下伏下-中泥盆统阿舍勒组角度不整合或断层接触，为一套中基性火山熔岩、火山碎屑岩建造。

1.2 侵入岩及断裂

矿区潜火山岩及岩脉广泛分布，其中流纹斑岩规模最大，侵入阿舍勒组第二岩性段，为萨尔朔克矿床的直接容矿岩石。辉绿岩和辉绿玢岩多呈脉状、不规则状、近椭圆状侵入于地层及流纹斑岩中，规模一般较小，多沿断裂及裂隙分布。辉绿岩和辉绿玢岩脉切穿矿体，尽管这些岩脉中发育黄铁矿黄铜矿化，但不具有经济价值。

矿区构造发育，总体构造方向为北西向。矿区发育有北西向、近南北向、近东西向及北东向四组断裂，常形成较宽的片理化带及糜棱岩化带。北西向断裂为区域上的大断裂，具有一定规模，形成时代早，往往是区内重要的控矿构造。而其余断裂规模较小、延伸较短、形成时代较晚，对区内矿化有一定的改造作用。

1.3 矿化及蚀变特征

矿体主要产于黄铁绢英岩化流纹斑岩体中及附近，矿体大多与围岩呈渐变过渡关系。地表金矿化为主，向下变为以金铜矿化、铜铅锌多金属矿化为主的变化趋势，矿体品位明显变富。

按成矿元素矿石可分为金矿石、金铜矿石、铜矿石、铜锌矿石、铅锌矿石和铜铅锌矿石。矿石构造主要有块状、条带状、条纹状、斑杂状、浸染状、网脉状、细脉状、蜂窝状构造。矿石结构有自形-半自形晶粒结构、它形晶粒结构、填隙结构、反应边结构、固溶体分离结构、鳞片粒状变晶结构等。矿石中金属矿物主要是黄铜矿、黄铁矿、方铅矿、闪锌矿、自然金，少量磁黄铁矿、蓝辉铜矿、辉铜矿、辉钼矿、毒砂、斑铜矿。非金属矿物主要有石英、斜长石、绢云母、绿泥石、白云母、方解石、

注：本文为“十二五”国家科技支撑计划项目（编号：2011BAB06B03-02）、国家自然科学基金项目（编号：41272103）联合资助成果。

收稿日期：2015-08-02；改回日期：2015-09-15；责任编辑：费红彩。

作者简介：杨成栋，男，1987年生。在读博士，矿物学、岩石学、矿床学专业。E-mail: ycd.198747@163.com。

次闪石等。矿石中金平均品位为 $1.24\sim14.5\times10^{-6}$, 铜平均品位 $0.37\sim2.2\%$, 铅平均品位 $0.21\sim2.12\%$, 锌平均品位 $0.91\sim11.19\%$ (王华星等, 2011)。

热液蚀变形成的矿物主要有石英、黄铁矿、绢云母、绿泥石、高岭土、绿帘石、碳酸盐, 少量石榴石和磁铁矿, 其中硅化、绢云母化和黄铁矿化与金铜矿化关系密切, 绿帘石和绿泥石分布于中基性火山岩、潜流纹斑岩和辉绿岩内。

2 氦和氩同位素示踪成矿流体来源

2.1 氦同位素示踪

13 件黄铁矿中流体包裹体的 ^4He 含量变化范围较大, 为 $(9.81\sim74.71)\times10^{-8}\text{ cm}^3\text{STP/g}$, ^3He 含量为 $(0.60\sim16.19)\times10^{-14}\text{ cm}^3\text{STP/g}$, $^3\text{He}/^4\text{He}$ 值变化范围较大, 为 $0.02\sim0.44\text{ Ra}$ (Ra 为大气的 $^3\text{He}/^4\text{He}$ 值 1.40×10^{-6})。 $^3\text{He}/^4\text{He}$ 值接近但高于地壳的 $^3\text{He}/^4\text{He}$ 值 ($0.01\sim0.05\text{ Ra}$, Stuart et al., 1995), 但明显远低于地幔流体的 $^3\text{He}/^4\text{He}$ 值 ($6\sim9\text{ Ra}$)。在 $^3\text{He}-^4\text{He}$ 同位素演化图解 (图 1) 上, 样品点位于地幔端元和地壳端元之间, 并靠近地壳组成一侧 (甚至有两点处于地壳氦演化区域上), 其 $^3\text{He}/^4\text{He}$ 值在 $10^{-6}\sim10^{-8}$ 之间, 显示出明显的壳源特征。

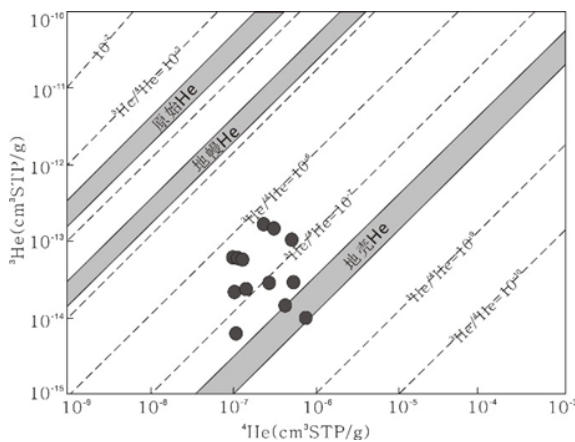


图 1 萨尔朔克金多金属矿床黄铁矿中流体包裹体的 He 同位素组成 (底图据 Mamyrin et al., 1984)

根据公式 $\beta=[\gamma_{\text{样品}}-\gamma_{\text{地壳}}]/[\gamma_{\text{地幔}}-\gamma_{\text{地壳}}]\times100\%$ (Ballentine et al., 2002) 计算壳幔二元体系的 He 含量, 其中 β 为实测 He 中地幔来源的占有率, $\gamma_{\text{样}}$

为实测样品的 $^3\text{He}/^4\text{He}$ 值, $\gamma_{\text{地壳}}$ 和 $\gamma_{\text{地幔}}$ 分别为地壳 $^3\text{He}/^4\text{He}$ 的端元值 0.02 Ra 和地幔的端元值 6.5 Ra (Stuart et al., 1995), 计算得样品中幔源 He 的含量为 $0.06\%\sim7.45\%$, 平均为 2.43% , 因此, 萨尔朔克金多金属矿床成矿流体中地幔 He 的占有率非常低, 表明了地壳来源为主, 很少量地幔来源氦同位素混入。

2.2 氩同位素示踪

13 件黄铁矿中流体包裹体的 ^{40}Ar 含量为 $(2.95\sim8.25)\times10^{-8}\text{ cm}^3\text{STP/g}$, $^{40}\text{Ar}/^{36}\text{Ar}$ 比值变化于 $319.6\sim458.5$, 与被认为 Ar 来源于海水的大西洋中脊 TAG 热液区硫化物 $^{40}\text{Ar}/^{36}\text{Ar}$ 比值 $287\sim359$ (曾志刚等, 2000) 具有相似性, 表现出大气降水或海水的特征, 同时接近大气 $^{40}\text{Ar}/^{36}\text{Ar}$ (295.5) 的比值, 介于地幔柱 (296~2780) (Hiyagon et al., 1992) 之间, 而远远低于大洋中脊玄武岩 (MORB) (133000~25250) (Allegre et al., 1986)。在 $R/\text{Ra}-^{40}\text{Ar}/^{36}\text{Ar}$ 图上 (图 2a) 显示幔源流体与壳源流体两端元混合的特征。

据公式 $\varepsilon=[\delta_{\text{样品}}-295.5]/\delta_{\text{样品}}\times100\%$ (Ballentine et al., 2002) 计算放射性成因 $^{40}\text{Ar}^*$ 的含量, 其中, ε 为实测 Ar 中放射性成因的占有率, $\delta_{\text{样品}}$ 为实测样品的 $^{40}\text{Ar}/^{36}\text{Ar}$ 值。计算得样品中放射性成因 $^{40}\text{Ar}^*$ 含量为 $7.53\%\sim35.55\%$, 平均为 23.16% , 因此, 大气 Ar 的贡献为 $64.45\%\sim92.47\%$, 平均为 76.84% , 表明了成矿流体中大气饱和水参与成矿作用明显。大气饱和水包括大气降水和海水, 考虑到流纹斑岩是阿舍勒组海相火山岩的潜火山岩相, 大气降水不大可能参与成矿作用, 故该参与成矿作用的大气饱和水应是深循环的海水。

$^{40}\text{Ar}^*/^4\text{He}$ 比值为 $0.005\sim0.104$, 平均为 0.053 , 与地壳流体的 $^{40}\text{Ar}^*/^4\text{He}$ 比值 0.156 (Stuart et al., 1995; 胡瑞忠, 1997) 较为接近, 而与地幔流体的 $^{40}\text{Ar}^*/^4\text{He}$ 比值 $0.33\sim0.56$ (Dunai et al., 1995) 相差较远, 在 $^{40}\text{Ar}^*/^4\text{He}-R/\text{Ra}$ 图解中 (图 2b) 位于地壳 He 和地幔 He 之间但靠近地壳 He 一侧。

综上所述, 萨尔朔克金多金属矿黄铁矿流体包裹体中的 He、Ar 同位素特征表明, 矿床的成矿流体主要来源于壳源的岩浆流体和深循环海水。

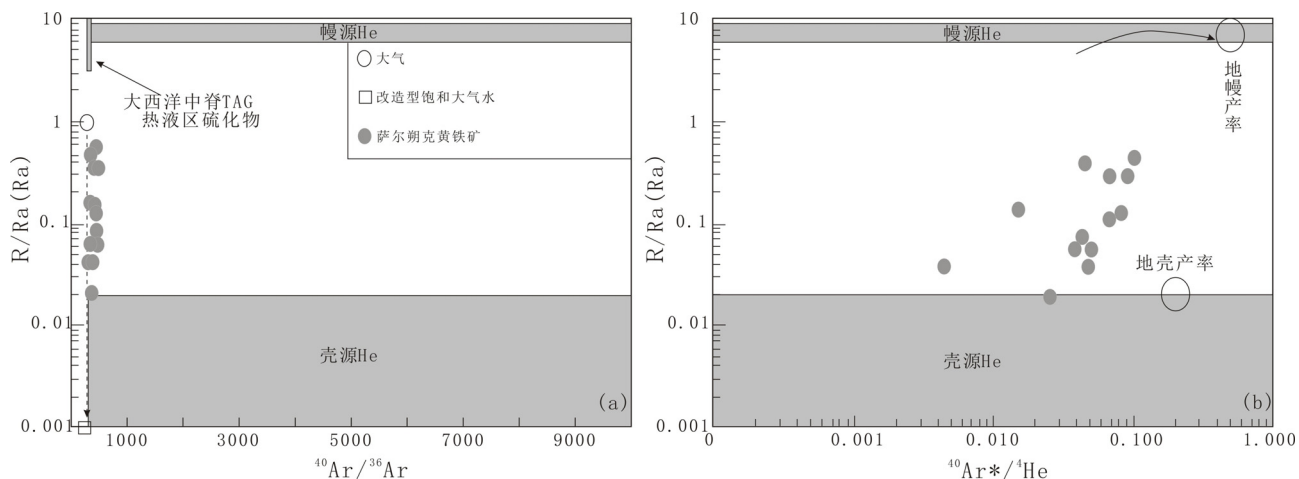


图 2 萨尔朔克金多金属矿床黄铁矿中流体 $^{40}\text{Ar}/^{36}\text{Ar}$ - R/Ra (图 a) 和 $^{40}\text{Ar}^*/^{4}\text{He}-R/\text{Ra}$ (图 b) 关系图解 (改造型饱和大气水据 Stuart et al., 1995; 大西洋中脊 TAG 热液区硫化物据曾志刚等, 2000; 底图据翟伟等, 2012)

参 考 文 献 / References

- 曾志刚, 秦蕴珊, 崔世奎. 2000. 大西洋中脊 TAG 热液区硫化物中流体包裹体的 He-Ne-Ar 同位素组成. 中国科学(D 辑), 30(6): 628~633.
- 胡瑞忠. 1997. 成矿流体氦、氩同位素地球化学. 矿物岩石地球化学通报, 16(2): 120~124.
- 王华星, 何建喜, 张为, 周晓飞, 吴敬新, 谢宗仁, 姚磊. 2011. 新疆哈巴河县萨尔朔克金多金属矿资源储量核实报告. 1~124.
- 翟伟, 孙晓明, 邬云山, 孙岩岩, 华仁民, 叶先仁. 2012. 粤北瑶岭-梅子窝钨矿 He-Ar 同位素地球化学: 对华南燕山期壳幔作用过程与成矿的制约. 科学通报, 57(13): 1137~1146. #
- Allegre C J, Staudacher T, Sarda P. 1986/1987. Rare gas systematics: formation of the atmosphere, evolution and structure of the Earth's mantle. Earth and Planetary Science Letters, 81: 127~150.
- Ballentine C J, Burnard P G. 2002. Production, release and transport for noble gases in the continental crust. Review Mineral Geochemical, 47: 481~538.
- Dunai T J, Baur H. 1995. Helium, neon and argon systematics of the European subcontinental mantle: implications for geochemical evolution. Geochimica et Cosmochimica Acta, 59: 2767~2784.
- Hiyagon H, Ozima M, Marty B, Zashu S, Sakai H. 1992. Noble gases in submarine glasses from mid-oceanic ridges and Loihi seamount: Constraints on the early history of the Earth. Geochimica et Cosmochimica Acta, 56(3): 1301~1316.
- Mamyrin B A, Tolstikhin I N. 1984. Helium isotopes in natures. Amsterdam: Elsevier, 273.
- Stuart F M, Burnard P G, Taylor R P, Turner G. 1995. Resolving mantle and crustal contribution to ancient hydrothermal fluids: He-Ar isotopes in fluid inclusions from Dae Hwa W-Mo mineralization, South Korea. Geochimica et Cosmochimica Acta, 59: 4663~4673.